

1. まえがき 連続体力学の立場から、土のダイレタンシー現象を表現するには2通りの方法が考えられる。一つは塑性力学の立場からで、塑性ポテンシャル函数に応力の1次不変量を含むことにより表現できる。もう一つは弾性力学の立場からで、土を異方性材料みなすことにより表現できる。このことは岩崎⁽¹⁾によるものであるが、彼は軸対称応力条件のもとで負荷をうけた土質材料の偏差応力がダイレタンシー発生時の値を越えると区分で線形と2軸直交異方性材料になると仮定し、ダイレタンシーを表現しようと試みた。著者は岩崎のpaperにピントを当て、彼の用いた応力の軸対称仮定を取り扱い、簡単な室内軸対称試験から、異方性に応じて大幅に増える変形係数の非線形性を評価する方法を考察した結果、一応の成果を得たのでここに報告したい。本報ではまず室内試験結果から応力ビズミンソルの増分関係を導く一般論を展開し、FEM荷重増分法に用いる平面ひずみの応力ビズミ増分関係を与えた。また豊浦砂の応力ビズミ関係⁽²⁾を用い、2.3の境界条件の下で本解法の解と、Kulhawny, Duncanらに代表される(EI, Rを用いた)従来の解法⁽³⁾の解とを比較し、その結果、本解法が、拘束力の増加のダイレタンシーを解析しうることが明らかになった。

2. 応力ビズミンソルの増分関係の説明

I 室内軸対称試験として、等方圧縮試験(C-Test)と平均主応力一定試験(D-Test)を行う。C-Testの試験結果から $\sigma_{vc} = \sigma_{vd}(0_m)$, D-Testからは $\sigma_{vd} = \sigma_{vd}(\eta)$, $\delta_{octd} = \delta_{octd}(\eta)$ ——(1) をそれぞれ関数近似する。ここに σ_{vc} , σ_{vd} はそれぞれ C, D Test における体積比 η , δ_{octd} は D-Test における正入面体セグメントで、 0_m は平均主応力、 σ_{oct} は正入面体セグメント応力、 η は正入面体応力比で $\sigma_{oct}/0_m$ で与えられる。

II (1)式を微分し、正入面体増分関係 $[\delta\sigma, \delta\delta_{oct}]^t = [S_{11} \quad S_{12} \quad S_{21} \quad S_{22}] [\delta\sigma_m, \delta\sigma_{oct}]^t$ ——(2.a) を導びく。ここに $S_{11} = d\sigma_{vc}/d\sigma_m$, $S_{12} = \partial\sigma_{vd}/\partial\sigma_{oct}$, $S_{21} = \partial\delta_{octc}/\partial\sigma_m = 0$, $S_{22} = \partial\delta_{octd}/\partial\sigma_{oct}$ ——(2.b) で与えられ S_{11} , S_{12} , S_{22} はそれぞれ圧縮、ダイレタンシー、セグメント増分に対するスチップネスを意味する。

III (2)bに軸対称条件を代入し、 $d\sigma_1, d\sigma_3$ に関する連立1次方程式を解いて、2軸の増分関係(3)を得る。

a) 圧縮状態 ($d\sigma_1 > d\sigma_2 = d\sigma_3$, $d\sigma_1 > d\sigma_2 = d\sigma_3$) の場合、(2)式のビズミ増分に $d\sigma_v = d\sigma_1 + 2d\sigma_3$, $d\delta_{oct} = 2\sqrt{2}(d\sigma_1 - d\sigma_3)/3$, 応力増分に $d\sigma_m = (d\sigma_1 + 2d\sigma_3)/3$, $d\sigma_{oct} = (\sqrt{2}(d\sigma_1 - d\sigma_3)/3$ を代入し、 $[\delta\sigma_1 \quad \delta\sigma_3]^t = [a_{11} \quad a_{12} \quad a_{21} \quad a_{22}] [\delta\sigma_m \quad \delta\sigma_{oct}]^t$ ——(3.a)を得

b) 伸張状態 ($d\sigma_1 = d\sigma_2 > d\sigma_3$, $d\sigma_1 = d\sigma_2 > d\sigma_3$) の場合も同様にして $[\delta\sigma_1 \quad \delta\sigma_3]^t = [b_{11} \quad b_{12} \quad b_{21} \quad b_{22}] [\delta\sigma_m \quad \delta\sigma_{oct}]^t$ ——(3.b)

$$\text{ここで } a_{11} = [2(S_{11} + \sqrt{2}S_{12}) + 6S_{22}]/18$$

$$b_{11} = [2(2S_{11} + \sqrt{2}S_{12}) + 3S_{22}]/18$$

$$a_{12} = [2(8S_{11} - \sqrt{2}S_{12}) - 6S_{22}]/18$$

$$b_{12} = [2(2S_{11} - \sqrt{2}S_{12}) - 3S_{22}]/18$$

$$a_{21} = [2(2S_{11} + \sqrt{2}S_{12}) - 3S_{22}]/18$$

$$b_{21} = [2(2S_{11} + \sqrt{2}S_{12}) - 6S_{22}]/18$$

$$a_{22} = [2(2S_{11} - \sqrt{2}S_{12}) + 3S_{22}]/18$$

$$b_{22} = [2(2S_{11} - \sqrt{2}S_{12}) + 6S_{22}]/18$$

IV いま最も一般的な3軸の増分関係を、 $d\sigma_i = C_{ij}d\sigma_j$ ($i, j = 1 \sim 3$) ($d\sigma_i, d\sigma_j$ は主ビズミ、主応力の増分) (4)とおくと、(4)式は軸対称の2つのストレス空間における増分関係(3.a), (3.b)を包含してなければならない条件から、係数等置により、 C_{ij} は a_{ij} , b_{ij} と更に S_{ij} と関係づけられる。その結果3軸の増分関係(5)式を得る。

$$\begin{cases} d\sigma_1 \\ d\sigma_2 \\ d\sigma_3 \end{cases} = \begin{cases} C_{11} & C_{12} & C_{13} \\ C_{21} & C_{22} & C_{23} \\ C_{31} & C_{32} & C_{33} \end{cases} \begin{cases} d\sigma_1 \\ d\sigma_2 \\ d\sigma_3 \end{cases}, \quad \begin{aligned} C_{11} &= a_{11} = [(S_{11} + 3S_{22}) + \sqrt{2}S_{12}]/9 & C_{13} &= b_{12} = [(2S_{11} - 3S_{22}) - 2\sqrt{2}S_{12}]/18 \\ C_{22} &= a_{22} - b_{22} = (S_{11} + 3S_{22})/9 & C_{12} &= a_{12} - b_{12} = (2S_{11} - 3S_{22})/18 \\ C_{33} &= b_{22} = [(S_{11} + 3S_{22}) - \sqrt{2}S_{12}]/9 & C_{21} &= a_{12} = [(2S_{11} - 3S_{22}) + 2\sqrt{2}S_{12}]/18 \end{aligned} \quad (5)$$

V ビズミ応力ビズミの増分関係の係数行列における(4,4), (5,5), (6,6)要素 C_{44}, C_{55}, C_{66} の非線形性を実験により評価するには、Coleの行は、たよろず单纯セグメント試験を行つ必要がある。しかしここでは便宜上、線形異方弾性材料のスチップネスとのアナロジーを仮定し、 $d\delta_{ij} = 2(C_{ii} - C_{ij})d\sigma_{ij}$ ($i \neq j$) を認めると

C_{44}, C_{55}, C_{66} の非線形性の評価式は (6) 式で与えられる。

$$C_{44} = C_{66} = 2(C_{22} - C_{13}) = 2(C_{11} - C_{12}) = S_{22} + \sqrt{2}S_{12}/9 \quad (6)$$

$$C_{55} = 2(C_{33} - C_{21}) = S_{22} - 4\sqrt{2}S_{12}/9$$

異方性の主軸と主応力増分の主軸の一一致を仮定し、主軸と平行に $X'Y'Z'$ 座標をとると、テンソル増分関係は (7) 式で与えられる。

$$\begin{bmatrix} d\varepsilon \\ d\gamma_y \\ d\gamma_z \end{bmatrix} = \begin{bmatrix} C_{11} & C_{12} & C_{13} \\ C_{21} & C_{22} & C_{23} \\ C_{31} & C_{12} & C_{33} \end{bmatrix} \begin{bmatrix} d\sigma_x \\ d\sigma_y \\ d\sigma_z \end{bmatrix}, \quad \begin{bmatrix} d\gamma_y \\ d\gamma_z \\ d\sigma_y \\ d\sigma_z \end{bmatrix} = \begin{bmatrix} C_{44} & 0 & 0 \\ 0 & C_{55} & 0 \\ 0 & 0 & C_{66} \end{bmatrix} \begin{bmatrix} d\varepsilon_x \\ d\varepsilon_y \\ d\varepsilon_z \end{bmatrix} \quad (7)$$

(7) 式で注目すべきは、係数行列が非対称で、各要素は (5), (6) 式を用いて 3 個の独立なスティフェネス S_{11}, S_{12}, S_{22} と関係づけられる。

3. 平面ひずみの応力ベクトル増分関係

I) 本解析法 $\{d\sigma\}^t = L_p f' L_p^t \{d\varepsilon\}^t \quad (8)$

ここに $\{d\sigma\} = \{d\sigma_x, d\sigma_y, d\sigma_z\}$, $\{d\varepsilon\} = \{d\varepsilon_x, d\varepsilon_y, d\varepsilon_z\}$

$$D' = \frac{1}{Q} \begin{pmatrix} P_{22} - P_{12} & 0 \\ -P_{21} & P_{11} & 0 \\ 0 & 0 & Q/C_s \end{pmatrix}, \quad Q = \det \begin{vmatrix} P_{11} & P_{12} \\ P_{21} & P_{22} \end{vmatrix}, \quad L_p = \begin{bmatrix} \cos^2 \theta & \sin^2 \theta & -2 \sin \theta \cos \theta \\ \sin^2 \theta & \cos^2 \theta & 2 \sin \theta \cos \theta \\ \sin \theta \cos \theta & -\sin \theta \cos \theta & \cos^2 \theta - \sin^2 \theta \end{bmatrix}$$

$$P_{11} = C_{11} - C_{12}C_{21}/C_{22}, \quad P_{12} = C_{13}(1 - C_{12}/C_{22}) \quad * \text{これは最大主応力増分軸が } X \text{ 軸} \\ P_{22} = C_{33} - C_{12}C_{23}/C_{22}, \quad P_{21} = C_{21}(1 - C_{12}/C_{22}) \quad \text{と反時計回り} \rightarrow \theta \text{ の角度。}$$

II) 従来の解析法

Kulhawy, Duncan の用いる変形係数と側圧一定圧縮試験の応力ベクトル曲線を用い、 $E_t = d\sigma_t/d\varepsilon_t$, $\nu_t = -d\varepsilon_t/d\varepsilon_1$ で定義され (3.1) 式より容易に導かれる。

$$\{d\sigma\}^t = \frac{E_t}{(1+\nu_t)(1-2\nu_t)} \begin{bmatrix} 1-\nu_t & -\nu_t & 0 \\ -\nu_t & 1-\nu_t & 0 \\ 0 & 0 & (1-2\nu_t)/2 \end{bmatrix} \{d\varepsilon\}^t \quad (9)$$

ここで $E_t = 1/a_{11} = 9/[S_{11} + \sqrt{2}S_{12} + 3S_{22}]$

$$\nu_t = -a_{21}/a_{11} = -[2S_{11} + 2\sqrt{2}S_{12} - 3S_{22}]/[2[S_{11} + \sqrt{2}S_{12} + 3S_{22}]$$

4. 解析結果と考察 i) (1) 式の具体例として豊浦砂の場合 (10) 式を用いた。 $\varepsilon_{vc}(\sigma_m) = \sigma_m/(1+\lambda_1\sigma_m)$, $\varepsilon_{vd} = -[\lambda_1\lambda_2\gamma/(1-\lambda_2\gamma) + \lambda_2]$, $\delta\sigma_{cd} = \lambda_1\gamma/(1-\lambda_2\gamma) - (10)$. ここに入 $_{1,2}$, $\lambda_1, \lambda_2, M_1, M_2$ は材料の非線形性パラメータであり、全て初期剛性比 C_0 の 1 次式で表せる。(4)

ii) 解析の条件は一括して Fig. 1 に示す。iii) 解析結果のうち特に注意したのは、平面ひずみ側圧一定圧縮試験の応力ベクトル挙動を示した Fig. 3 である。従来の解析法では、膨張のダイレタンシーが生じると、 $\nu_t > 0.5$ となり剛性行列の正則性を失り、解析不能となる。一方本解析法では、周知の粒状体の膨張のダイレタンシー特性を解析し得ている。紙数の都合上、解析結果の詳細は会場で報告した。(本報を通じて応力は全て有効応力を意味し、正縮ひずみを正とした。)

5. あとがき 今後は粘土地盤の変形解析に対する本解析法の適用について検討していく。なお計算は九大計算機センター FACOM 230-75 を用いた。

6. 謝辞 最後に日頃御指導を戴いている本学伊勢田哲也教授と、

本研究を熱心に手伝って頂いた大安部千サ子セ史(現日本地研 KK)K. 深謝の意を表したい。

引用文献 1) 岩崎義夫: 土木学会論報 20 号 PP.95-101 (1973), 2,3) 横橋・宇部・伊勢田: 土木学会函館支部講演概要, PP.201- (1976.29), PP.107- (1977.2月), 4) 横橋: 長崎工業大学紀要 6 号 PP.103-112 (1975.12月) 5) Kulhawy, F.H. & Duncan, J.M.: Proc. ASCE, SM7, PP.653- (1972)

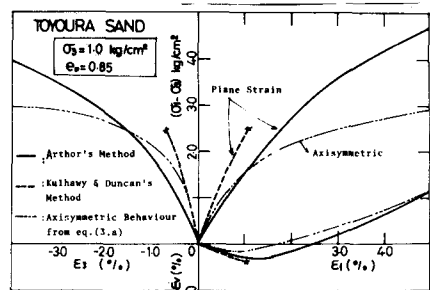
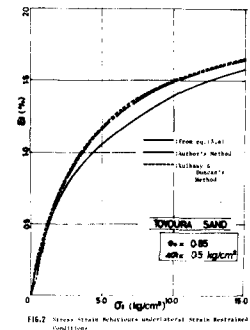
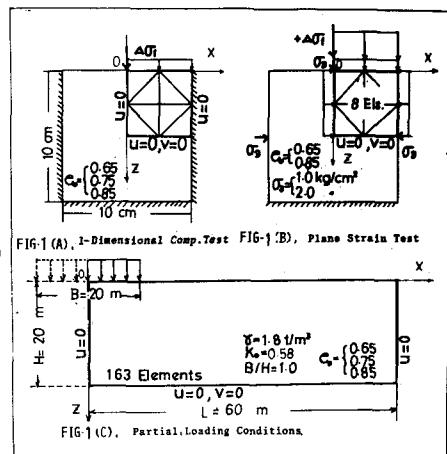


FIG.3 Stress Strain Behaviours of Both Plane Strain and Axisymmetric Const. Comp. Test (Results of Two Methods of F.E.M.)

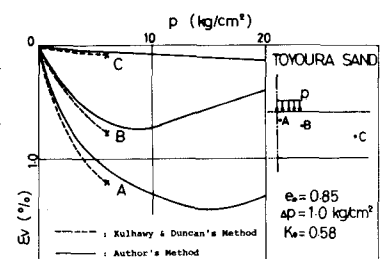


FIG.4 Relationship between Load Intensity p and Volumetric Strain ε_v At Points A, B, C. (Results of Two Method of F.E.M.)